

軟練り・硬練りコンクリートのひびわれ性状

高橋久雄
長尾覚博

Cracking Properties of High and Low Slump Concretes

Hisao Takahashi
Kakuhiro Nagao

Abstract

This report describes the results of studies on drying shrinkage and properties of cracking concerning two types of concrete, high and low slump. The studies consist of examinations and calculations. In the examinations, two factors are taken into consideration, namely, value of slump and curing conditions at early age. In the calculation study, the model, a modification of the specimen in the examination, is analyzed by an equation which applies Neville's theoretical equation. The results confirm that concrete of low slump is more effective in reducing cracking than concrete of high slump.

概要

本報告はランプの異なる、軟練り・硬練りコンクリートの乾燥収縮性状および収縮ひびわれ性状を、実験および計算によって比較・検討したものである。実験では、スランプ 21cm, 8cm の普通コンクリートについて、材令初期の養生条件を変化させた場合の、乾燥収縮性状、強度および収縮を拘束した場合のひびわれ発生性状の差異を検討した。さらに計算では、Neville の収縮応力計算式を応用し、実験の場合と同一の拘束モデルについて、計算上の軟練り・硬練りコンクリートのひびわれ発生性状の差異を検討した。検討の結果、特に顕著な差はなかったが、軟練りよりも硬練りの方がひびわれ低減に有効な傾向のあることを確認した。

1. はじめに

近年、一般的建築工事では、ポンプ工法の普及に伴い、スランプ値の大きい、いわゆる軟練りコンクリートを用いることが多い、乾燥収縮ひびわれの発生頻度の増大をまねいているのではないかという疑問が生じている。本報告は、このような背景にもとづき、スランプが収縮ひびわれの発生にどのような影響を持っているか、実験および計算によって検討した結果を述べたものである。すなわち、従来、物性的にしかとらえられていなかったコンクリートの乾燥収縮性状を、拘束ひびわれという観点から、スランプ値の大小とひびわれとの関連を考察したもので、スランプ値 21 cm を軟練りとし、スランプ値 8 cm を硬練りとして、両者について比較・検討した。

2. 実験概要

2.1. 使用材料およびコンクリートの調合

2.1.1. 使用材料

- a. セメント: 普通ポルトランドセメント
b. 骨材: 粗骨材; 最大粒形 25 mm, f.m. 6.8 川砂利
細骨材; 最大粒形 2.5 mm, f.m. 2.72 川砂

- c. 混和剤: AE 剤 (商品名ヴィンゾル)
2.1.2. コンクリートの調合 コンクリートの調合条件は以下に示す通りである。

- a. スランプ: 21cm(軟練りコンクリート), 8cm (硬練りコンクリート)
b. 空気量: 4% / vol
c. 設計基準強度: $F_c = 210 \text{ kg/cm}^2$ ($\sigma = 25 \text{ kg/cm}^2$)
上記の調合条件に従って、試し練りを行ない、表-1

粗骨材 の最大 寸 法 (mm)	スランプ 所 要 指 定 (mm)	空 気 量 (%)	水 セ メント 比 (%)	相 対 水 量 (%)	相 対 骨 材 率 (%)	相 対 容 積 (ℓ/m^3)	重 量 (kg/m^3)			表面活性 剤の使用量 (g/m^3)				
							セメント 量 (kg/m ³)	粗 骨 材 量 (kg/m ³)	細 骨 材 量 (kg/m ³)					
25	21	—	4.0	—	61.0	42.7	196.1	102.1	285.3	377.2	321.5	747.4	1,003.5	80.3
25	8	—	4.0	—	61.0	40.8	155.1	80.7	298.2	426.2	254.3	781.4	1,133.6	38.2

(注) 表記状態

表-1 コンクリートの調合表

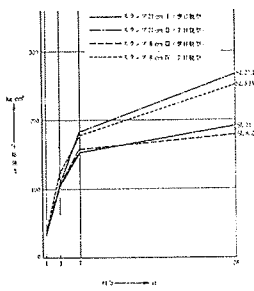


図-4 圧縮強度の経時変化

		kg/cm ²	
3日引張試験	材令	7	28
軟練り	翌日脱型	14.8	14.8
	7日脱型	8.0	18.4
硬練り	翌日脱型	6.2	12.5
	7日脱型	9.2	18.1

表-4 純引張強度の試験結果(平均値)

に大きかった他は、材令、養生別において、軟練り、硬練りコンクリート間に、差は認められなかった。また、 $1/4 F_c$ 時、 $1/4 F_t$ 時における圧縮弾性係数と引張弾性係数はほぼ同一であることを確認した。

3.3. 乾燥収縮性状について

埋込ゲージによる、自由収縮ひずみの測定結果は、図-5に示す通りで、材令300日で、翌日脱型の場合28%，7日脱型の場合19%軟練りの方が硬練りよりも乾燥収縮率が大であった。

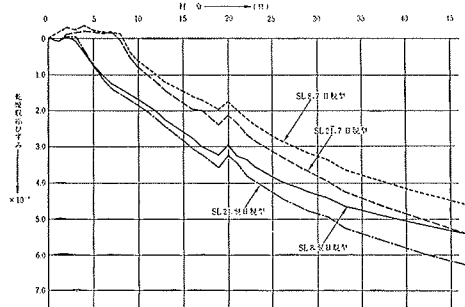


図-5 乾燥収縮率の経時変化

脱型時期の差については、軟練りコンクリートに差が認められ、材令300日で約10%，翌日脱型よりも、7日脱型の方が小さい収縮率を示した。ただし、翌日脱型と7日脱型の場合を脱型時を原点として比較すると、脱型後7日ぐらいまでは、7日脱型の方がやや収縮速度が大きく、7日以後は逆転する傾向が認められた。

またコンタクトゲージによって、供試体各部の収縮率を測定し、そのばらつきを調べた。一般的傾向として、試験体の端部は内部拘束が小さいので、中央部よりも収縮率が大きいといわれているが、今回の結果では、この

については材令28日で約30%7日脱型の方が強度が大であった。

3.2.2. 純引張強度について 表-4は純引張試験結果を示したものであるが、材令28日の場合について比較すると、7日脱型については軟練り、硬練りともほとんど差がなく、翌日脱型については、若干、軟練りの方が大であった。

3.2.3. 静弾性係数について(圧縮・引張) 翌日脱型の軟練りコンクリートにおける、材令3日時の $1/4 F_c$ 時のセカントモデュラスが極端

傾向は認められず、各部に不確定なばらつきがあり、それは材令の進行とともに大となって、材令47日の時点で最高と最低値との差が $1 \sim 2 \times 10^{-4}$ 程度となっている。

3.4. 拘束試験体のひずみの傾向およびひびわれ発生性状について

3.4.1. 拘束試験体のひずみの傾向 拘束試験体のひずみの傾向は、図-6に示すように、コンクリートの乾燥収縮ひずみが、拘束フレームに拘束されるため、自由収縮量よりもかなり小さな値となり、フレーム部とコンクリート部のひずみの履歴は、ほぼ同一の傾向を示し、フレームとコンクリートが一体となって挙動していることがわかる。またひびわれ発生以後は収縮応力が緩和されるので、フレーム部のひずみは0に近づく。さらにコンクリート部の収縮ひずみはひびわれ部分に集中し、ひびわれ幅は除々に拡大されるが、平均ひずみはフレームと同一の傾向を示す。なお本実験の場合、ひびわれが発生した後、ひずみは瞬時に0に近づくわけではなく、2~3日を経て、0に近い状態で定常に達した。これは、全断面全域にひびわれが瞬時に進展しないため、骨材とペーストとの機械的なかみ合せにより、ひびわれが発生した直後でも、骨材とペーストが完全に分離しないことによるものと考えられる。

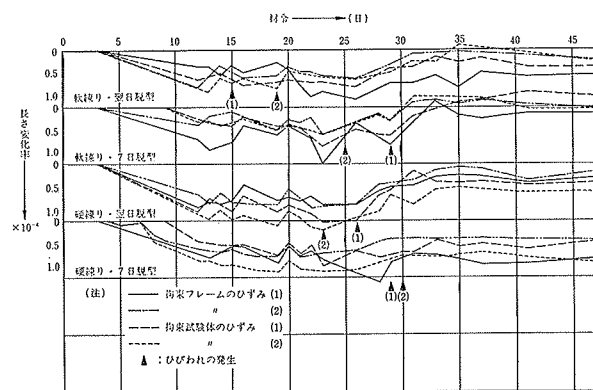


図-6 拘束ひずみの傾向(コンタクトゲージ)

3.4.2. 拘束ひびわれの発生状況 拘束ひびわれは、軟練りの一部を除いて、ほとんどが供試体の中央付近に貫通した形で発生した。脱型後および成型後、ひびわれ発生までの日数、ひびわれ発生時の諸物性値、さらに実測値にもとづきひびわれ直前の収縮応力の計算値などを表-5に示した。

これによると、翌日脱型、7日脱型とも、軟練りが硬練りよりも早くひびわれが発生した。脱型後の日数については、硬練りでは差が認められなかつたが、軟練りでは翌日脱型の方が7日脱型より日数が短かつた。成型後

項目	コンクリートの種類		軟練り		硬練り		
	日数(日)	脱型後 成型後	翌日脱型	7日脱型	翌日脱型	7日脱型	
ひびわれ発生時	13.5	20.0	23.5	22.5			
	14.5	27.0	24.5	29.5			
	自由収縮ひずみ × 10 ⁻⁴	2.73	3.40	3.75	3.22		
	拘束収縮ひずみ × 10 ⁻⁴	0.65	0.68**	1.33	0.81**		
	収縮拘束量 × 10 ⁻⁴	2.08	2.72**	2.42	2.41**		
	引張強度 kg/cm ²	14.8	20.3	16.7	18.2		
	引張弹性係数 × 10 ⁶ kg/cm ²	1.95	—	2.05	—		
	収縮速度 × 10 ⁻⁴ /日	0.202	0.170	0.160	0.143		
	拘束係数	0.76	0.80	0.65	0.75		
	収縮応力 *1 kg/cm ²	12.4 (12.4)	20.4 (17.90)	30.8 (24.2)	20.9 (—)		
実験値	自由収縮ひずみ × 10 ⁻⁴	10.6	9.6	7.6	7.8		
計算値	ひびわれ限界拘束係数 *2	0.20	0.28	0.32	0.31		

(注) *1 ()内は拘束フレームの残留ひずみを差引いて求めた場合。
 *2 ひびわれ限界拘束係数 = (ひびわれ発生時の収縮拘束量) / (材令 300 日における自由収縮ひずみ)
 *3 主としてコンタクトゲージによる測定値によっているが、データ不足の場合にはダイヤルゲージ、差動トランジストの測定値により補正したものを実験値として用いた。

表-5 拘束ひびわれの試験結果(平均値)

の日数では、軟練り、硬練りとも翌日脱型の方が7日脱型よりもひびわれ発生までの日数が短く、特に軟練りにおいて顕著であった。

また、ひびわれ発生直前の収縮応力を、拘束フレームの弾性係数を $E_f = 2.1 \times 10^6 \text{ kg/cm}^2$ と仮定して求めたところ、いずれも平均値で、軟練りの翌日脱型で 12.4 kg/cm^2 、7日脱型で 20.4 kg/cm^2 、硬練りの翌日脱型で、 30.8 kg/cm^2 、7日脱型で、 20.9 kg/cm^2 となり、軟練りよりも硬練りの方がひびわれ発生時の収縮応力が大となつた。ひびわれ発生時の引張強度の実験値と、収縮応力の計算値との比較では、両者ともおおむね一致する結果となっている。

さらに、自由収縮ひずみと拘束収縮ひずみとの差、すなわち、コンクリート自身が拘束されて吸収するひずみは、一般にいわれている引張破壊ひずみ $1 \sim 2 \times 10^{-4}$ よりも大きく、これはコンクリートの引張クリープにより応力が緩和されているためと考えられるが、本実験の場合、硬練りでは認められなかったが、軟練りについては翌日脱型よりも7日脱型の方が大であった。

前述のひびわれ発生時の、自由収縮ひずみと拘束収縮ひずみとの差を収縮拘束量とし、この値以下ではひびわれが発生しないものとすれば¹⁾、平衡時（本実験の場合材令 300 日とした）の自由収縮ひずみから、ひびわれ限界拘束係数を求め、軟練り、硬練りコンクリートのひびわれに対する抵抗性が比較できる。拘束係数の大きいものほど、ひびわれに対する抵抗が大であることを考慮すれば、軟練りの7日脱型、硬練りの翌日脱型、7日脱型はほぼ同一値で差がなく、これらに比し、軟練りの翌日脱型は、拘束係数が小さくひびわれが発生しやすいといえるが、実際の構造物の拘束係数は、壁体などの場合、

温度ひずみの長期測定から推察すると 0.7 前後と考えられるので、軟練り、硬練りいずれの場合も、ひびわれの発生は避けられない場合が多いと考えられる。しかし傾向としては、軟練りよりも硬練りの方がひびわれが入りにくいくことがわかる。

ひびわれが発生した後、実際には、ひびわれ幅が問題となる。表-6 は材令 300 日における、拘束供試体のひ

コンクリートの種類	脱型時	ひびわれ発生箇所	平均ひびわれ幅	ひびわれ幅
軟練り	8月 8日	1～2	0.34	0.11
	7月 8日	1～2	0.37	0.48
硬練り	8月 8日	1	0.35	0.58
	7月 8日	1	0.36	0.58

(注) *1 コンタクトゲージ検定 100 mm/m の測定値による
 *2 ひびわれ幅 = (力学的自由収縮量) × (拘束係数)

*3 ひびわれ幅 = (力学的自由収縮量) × (拘束係数)

表-6 ひびわれ幅の実測結果

ひびわれ幅をコンタクトゲージで測定した結果であるが、軟練りの供試体の一部にひびわれが 2 箇所に分散して

入り、ひびわれの貫通部分が完全には検長内に入らない場合もあったので、軟練りと硬練りで差のない結果となっているが、現実には、ひびわれ幅は自由収縮量に比例すると考えられるので、硬練りの方が軟練りより小となることが推察される。しかし実際の構造物では、ひびわれ発生以後、特にひびわれの分散がない限り、軟練りと硬練りで顕著なひびわれ幅の差はないものと思われる。

4. 収縮応力の理論計算

前節で述べた実験結果の傾向を理論的に把握するため図-7 に示すモデルについて、A. M. Neville の収縮応力計算式²⁾を応用し、軟練り、硬練りコンクリートの収縮応力の経時変化を解析した。

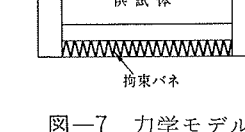


図-7 力学モデル

試算式はコンクリート供試体の変形と拘束バネの変形が等しいという条件から時間 K_j における収縮応力の増加分 Δf_j による、 T_j 区間の終わりにおけるひずみの増加分 $\Delta \varepsilon(T_{j+1/2})$ は、時間 K_j で載荷された持続荷重による時間 T_i までのクリープ係数を $\phi(T_{i+1/2}, K_j)$ とすると、バネの変形とのつりあいから(5.1) 式で表わされ、

$$\Delta \varepsilon + \frac{1}{2} - \frac{4P_j}{E_j \cdot A_c} \cdot (1 + \phi_{ij}) = \frac{4P_j}{E_s \cdot A_s} \quad \dots \dots \dots (5.1)$$

ただし、 $\Delta \varepsilon_{i+1/2}$: T_i 区間の終りにおけるひずみの増加分

ΔP_j : 時間 K_j における収縮力の増加分

E_j : 時間 K_j におけるコンクリートの弾性係数

A_c : コンクリートの断面積

(5.1)式を展開すると、(5.2)式が得られ、これによって経時的なコンクリート断面における収縮応力の変化を追

跡できる。

$$f_i + \frac{1}{2} = \frac{p_i - \frac{1}{2}}{A_c} + \left\{ \frac{1}{1 + \phi_{ij}} + \frac{1}{E_j \cdot A_s} \right\} \cdot \left\{ \sum_{j=1}^i \Delta \varepsilon_j - \sum_{j=1}^{i-1} \left(p_i + \frac{1}{2} - p_j - \frac{1}{2} \right) \right\} \cdot \left\{ \frac{1 + \phi_{ij}}{E_j \cdot A_c} + \frac{1}{E_s \cdot A_s} \right\} \quad \dots (5.2)$$

ただし、(5.2)式中の ϕ_{ij} および E_j はそれぞれ(5.3)、(5.4)式で表わされるものとする。

$$\phi_{ij} = \phi_N \cdot \frac{1.36 l_n (i-j+1)}{5 + \sqrt{j}} \quad \dots (5.3)$$

ただし、 ϕ_N : 終局クリープ係数

i : コンクリートの材令

j : 試験材令

$$E_j = 14,000 \cdot \left(\frac{f'_{cu,28}}{0.75 + 7/i} \right)^{1/2} \quad \dots (5.4)$$

ただし、 $f'_{cu,28}$: 材令28日におけるコンクリートの立方体強度

この場合、弾性係数、およびクリープは圧縮も引張も同一と考え、収縮応力の追跡には、実験で得られた自由

コンクリートの種類	養生方法	$f'_{cu,28}$ [kg/cm ²]	ϕ_N
軟練り	翌日脱型	281	2.0
	7日脱型	301	
硬練り	翌日脱型	292	
	7日脱型	296	

表-7 仮定した諸常数

式に従って材令的に引張強度が変化するものとした。

$$f_t(T) = f'_t, 28 \cdot \frac{0.4}{3 + 28/T} \quad \dots (5.5)$$

ただし、 T : コンクリートの材令

$f'_t, 28$: 材令28日における円柱供試体強度

$f_t(T)$: 材令 T におけるコンクリートの引張強度

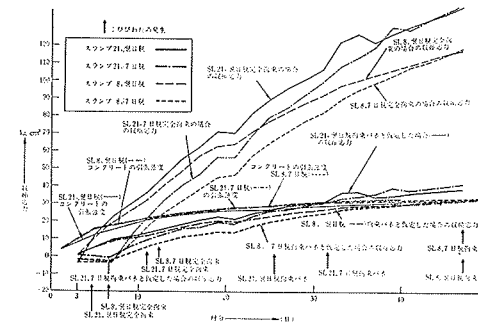


図-8 解析の結果

解析の結果は図-12に示す通りで、これによると、軟練りの方が硬練りよりもひびわれが入りやすいという結果を示しており、実験結果と同一の傾向となっている。また拘束条件によってかなりひびわれの発生が左右され、軟練り、硬練りコンクリートの収縮率の差は、実験値ではほぼ平衡時で20~30%程度であるが拘束条件とのかねあいによっては、両者のひびわれ性状にはかなりの差の生ずる可能性のあることが推察された。

5. 結語

検討の結果、軟練り、硬練りコンクリートとも、実際にひびわれは不可避と考えられるが、拘束条件をできるだけ小さくすると同時に、ひびわれの分散化をはかり、可能なかぎり硬練りコンクリートを用いることが収縮ひびわれの低減につながるものと思われる。

参考文献

- 1) 仕入豊和: 防水に関するコンクリートの諸性質とその仕様に関する研究, 学位論文, (1961)
- 2) A. H. Neville: Creep of Concrete; Plain, Reinforced and Prestressed, (1970)